

Eingabe: Farbmimetrisches Reflexions-System NCS11

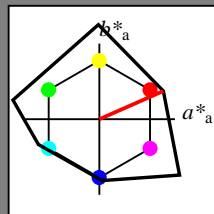
für Buntton $h^* = lab^*h = 24/360 = 0.066$

lab^*tch und lab^*nch

D65: Buntton R

LCH*Ma: 47 92 24

rgb*Ma: 1.0 0.0 0.0



NCS11; adaptierte CIELAB-Daten					
	$L^*=L^*_a$	a^*_a	b^*_a	$C^*_{ab,a}$	$h^*_{ab,a}$
RMa	47.15	84.64	37.25	92.48	24
JMa	91.37	-1.27	125.03	125.03	91
GMa	63.07	-114.28	25.35	117.06	167
G50BMa	59.47	-80.6	-33.45	87.28	203
BMa	49.01	3.65	-81.19	81.28	273
B50RMa	44.06	106.09	-73.93	129.32	325
NMa	10.99	0.0	0.0	0.0	0
WMa	95.41	0.0	0.0	0.0	0
RCIE	39.92	58.69	27.98	65.01	25
JCIE	81.26	-2.9	71.56	71.62	92
GCIE	52.23	-42.45	13.59	44.59	162
BCIE	30.57	1.35	-46.48	46.51	272

Dreiecks-Helligkeit t^*

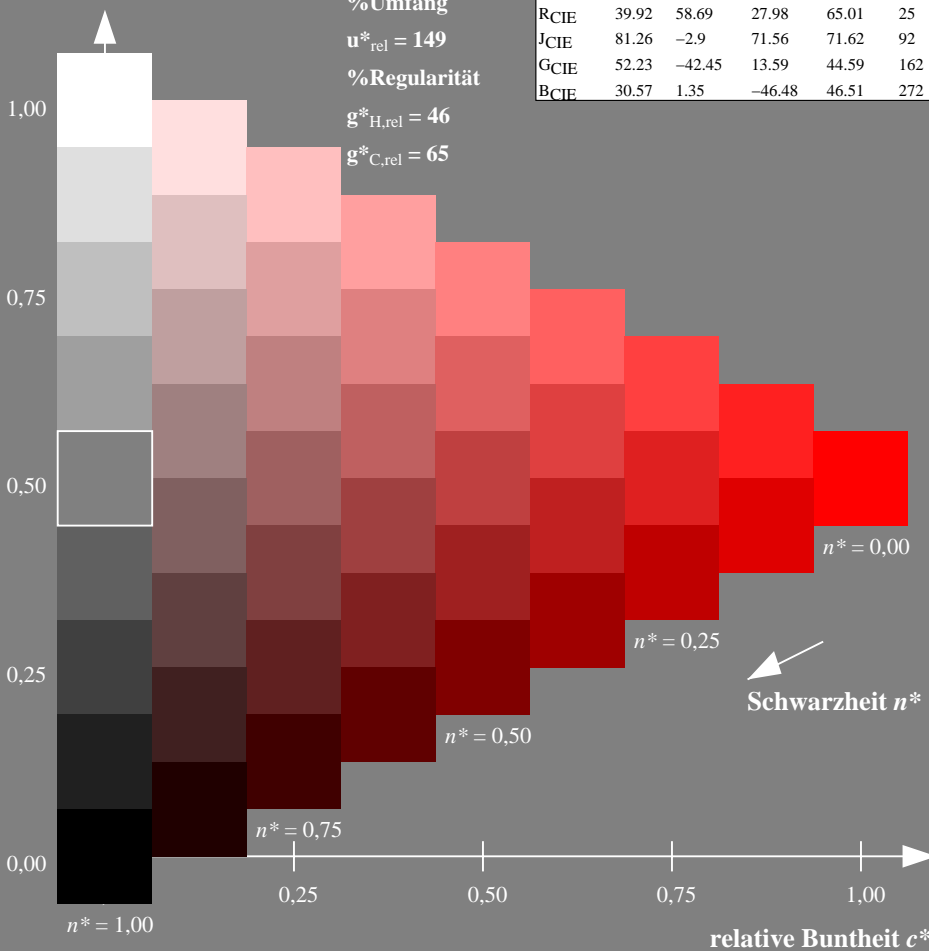
%Umfang

$u^*_{rel} = 149$

%Regularität

$g^*_{H,rel} = 46$

$g^*_{C,rel} = 65$



Ausgabe: Farbmimetrisches Reflexions-System NCS11

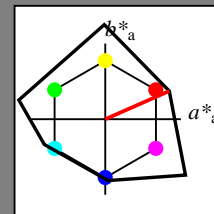
für Buntton $h^* = lab^*h = 24/360 = 0.066$

lab^*tch und lab^*nch

D65: Buntton R

LCH*Ma: 47 92 24

rgb*Ma: 1.0 0.0 0.0



NCS11; adaptierte CIELAB-Daten					
	$L^*=L^*_a$	a^*_a	b^*_a	$C^*_{ab,a}$	$h^*_{ab,a}$
RMa	47.15	84.64	37.25	92.48	24
JMa	91.37	-1.27	125.03	125.03	91
GMa	63.07	-114.28	25.35	117.06	167
G50BMa	59.47	-80.6	-33.45	87.28	203
BMa	49.01	3.65	-81.19	81.28	273
B50RMa	44.06	106.09	-73.93	129.32	325
NMa	10.99	0.0	0.0	0.0	0
WMa	95.41	0.0	0.0	0.0	0
RCIE	39.92	58.69	27.98	65.01	25
JCIE	81.26	-2.9	71.56	71.62	92
GCIE	52.23	-42.45	13.59	44.59	162
BCIE	30.57	1.35	-46.48	46.51	272

Dreiecks-Helligkeit t^*

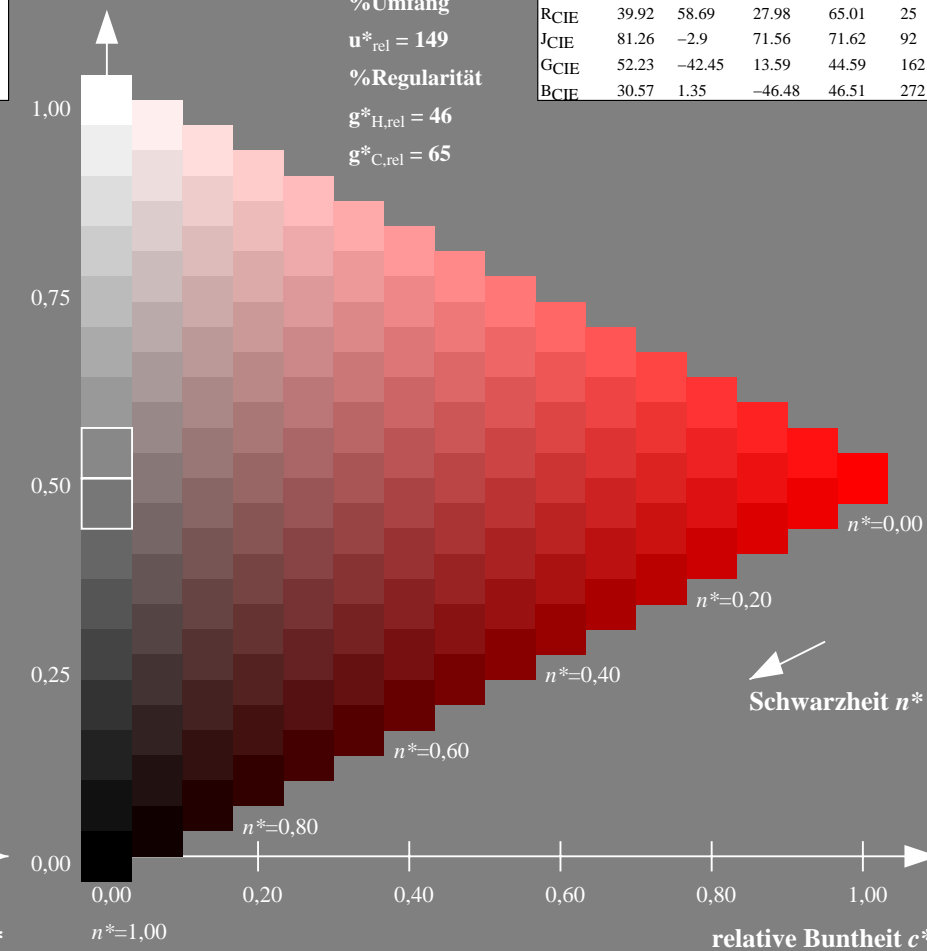
%Umfang

$u^*_{rel} = 149$

%Regularität

$g^*_{H,rel} = 46$

$g^*_{C,rel} = 65$



TG990-7, 9stufige Reihen für konstanten CIELAB Buntton 24/360 = 0.066 (links)

16stufige Reihen für konstanten CIELAB Buntton 24/360 = 0.066 (rechts)

BAM-Prüfvorlage TG99; Farbmimetrik-Systeme NCS11a & NCS11b

D65: 9 und 16stufige Farbreihen für 10 Bunttöne

input: $olv^* setrgbcolor$

output: no change compared to input

Eingabe: Farbmimetrisches Reflexions-System NCS11

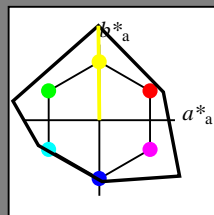
für Buntton $h^* = lab^*h = 91/360 = 0.252$

lab^*tch und lab^*nch

D65: Buntton J

LCH*Ma: 91 125 91

rgb*Ma: 1.0 1.0 0.0



NCS11; adaptierte CIELAB-Daten					
	$L^*=L^*_a$	a^*_a	b^*_a	$C^*_{ab,a}$	$h^*_{ab,a}$
RMa	47.15	84.64	37.25	92.48	24
JMa	91.37	-1.27	125.03	125.03	91
GMa	63.07	-114.28	25.35	117.06	167
G50BMa	59.47	-80.6	-33.45	87.28	203
BMa	49.01	3.65	-81.19	81.28	273
B50RMa	44.06	106.09	-73.93	129.32	325
NMa	10.99	0.0	0.0	0.0	0
WMa	95.41	0.0	0.0	0.0	0
RCIE	39.92	58.69	27.98	65.01	25
JCIE	81.26	-2.9	71.56	71.62	92
GCIE	52.23	-42.45	13.59	44.59	162
BCIE	30.57	1.35	-46.48	46.51	272

Dreiecks-Helligkeit t^*

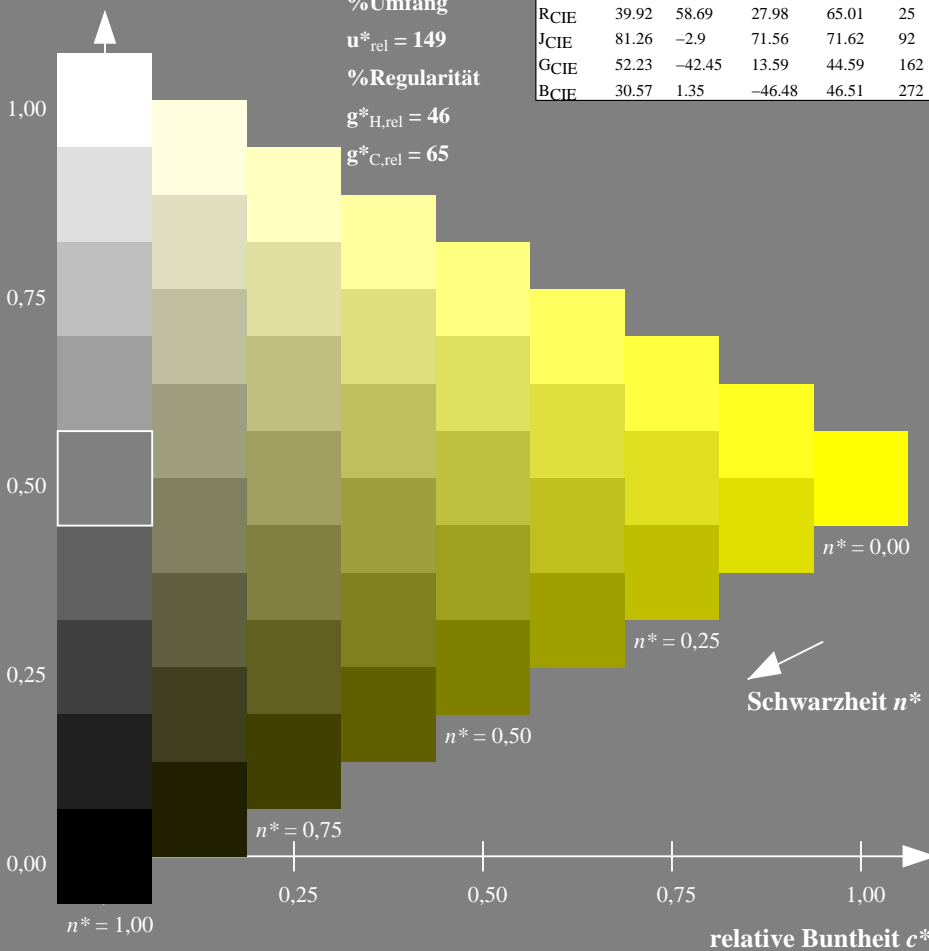
%Umfang

$u^*_{rel} = 149$

%Regularität

$g^*_{H,rel} = 46$

$g^*_{C,rel} = 65$



Ausgabe: Farbmimetrisches Reflexions-System NCS11

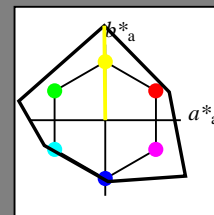
für Buntton $h^* = lab^*h = 91/360 = 0.252$

lab^*tch und lab^*nch

D65: Buntton J

LCH*Ma: 91 125 91

rgb*Ma: 1.0 1.0 0.0



NCS11; adaptierte CIELAB-Daten					
	$L^*=L^*_a$	a^*_a	b^*_a	$C^*_{ab,a}$	$h^*_{ab,a}$
RMa	47.15	84.64	37.25	92.48	24
JMa	91.37	-1.27	125.03	125.03	91
GMa	63.07	-114.28	25.35	117.06	167
G50BMa	59.47	-80.6	-33.45	87.28	203
BMa	49.01	3.65	-81.19	81.28	273
B50RMa	44.06	106.09	-73.93	129.32	325
NMa	10.99	0.0	0.0	0.0	0
WMa	95.41	0.0	0.0	0.0	0
RCIE	39.92	58.69	27.98	65.01	25
JCIE	81.26	-2.9	71.56	71.62	92
GCIE	52.23	-42.45	13.59	44.59	162
BCIE	30.57	1.35	-46.48	46.51	272

Dreiecks-Helligkeit t^*

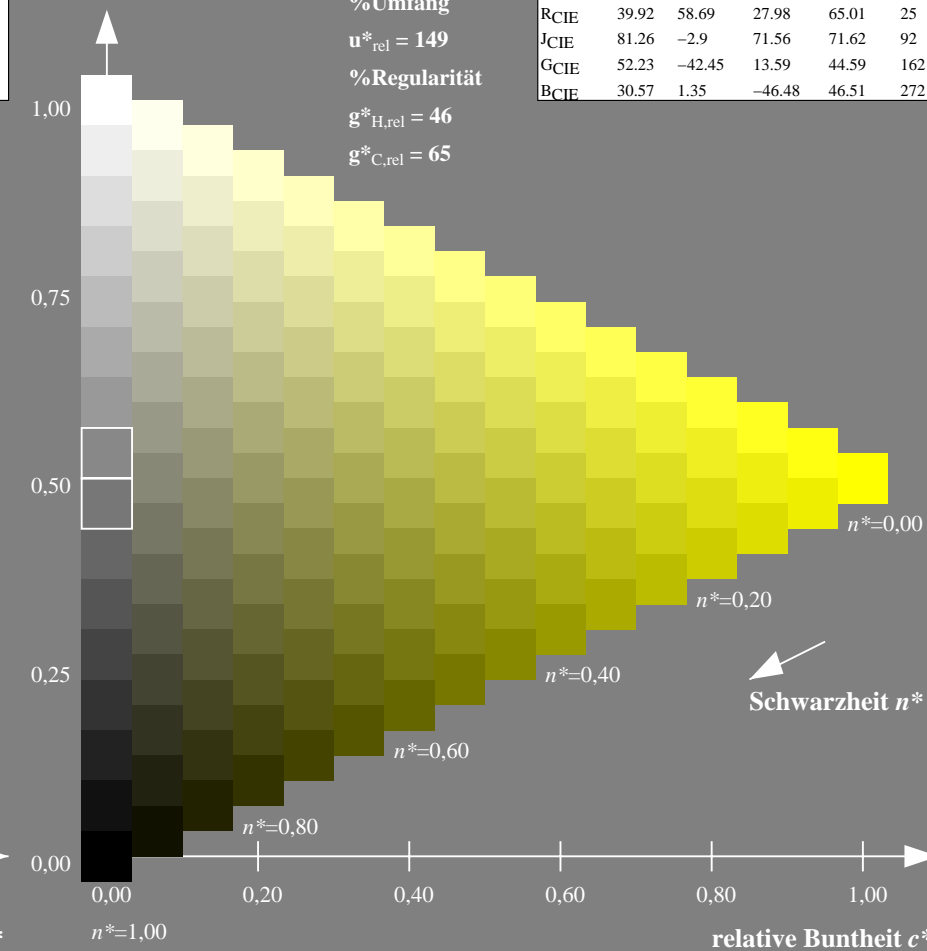
%Umfang

$u^*_{rel} = 149$

%Regularität

$g^*_{H,rel} = 46$

$g^*_{C,rel} = 65$



TG990-7, 9stufige Reihen für konstanten CIELAB Buntton 91/360 = 0.252 (links)

16stufige Reihen für konstanten CIELAB Buntton 91/360 = 0.252 (rechts)

BAM-Prüfvorlage TG99; Farbmimetrik-Systeme NCS11a & NCS11b

D65: 9 und 16stufige Farbreihen für 10 Bunttöne

input: $olv^* setrgbcolor$

output: no change compared to input

Eingabe: Farbmimetrisches Reflexions-System NCS11

für Buntton $h^* = lab^*h = 167/360 = 0.465$

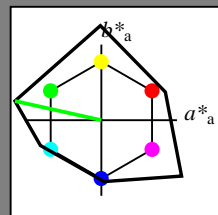
lab^*tch und lab^*nch

D65: Buntton G

LCH*Ma: 63 117 167

rgb*Ma: 0.0 1.0 0.0

Dreiecks-Helligkeit t^*



%Umfang

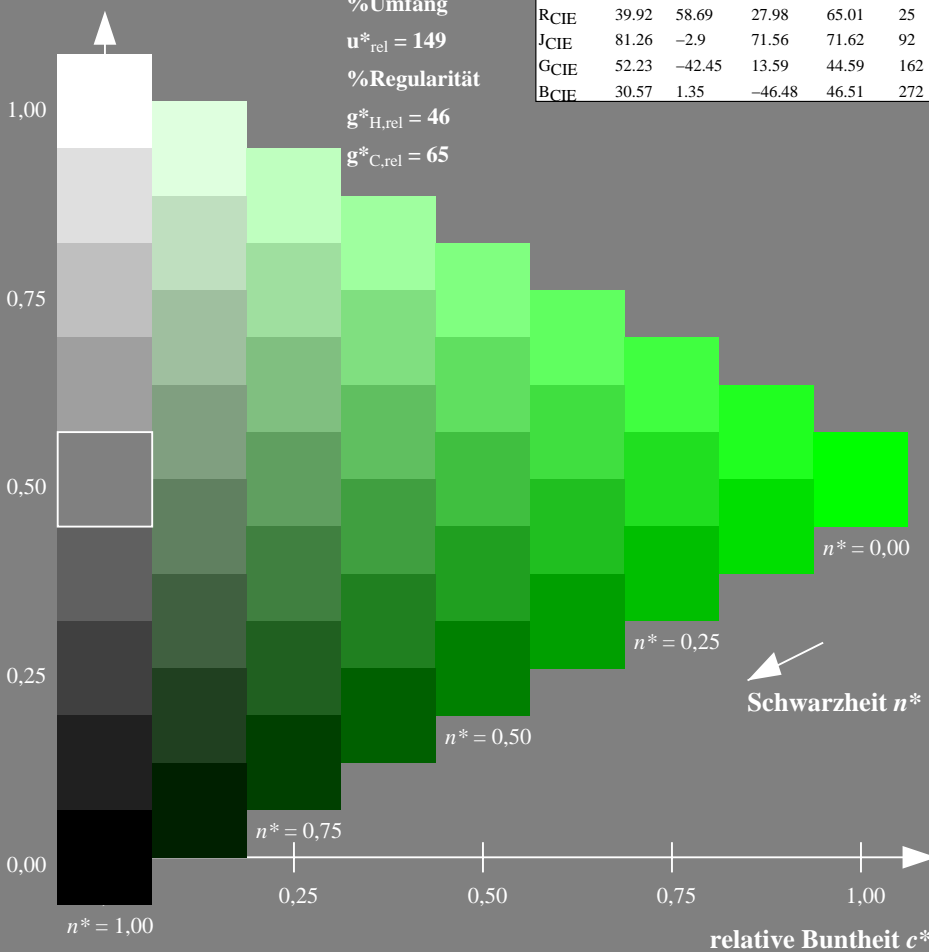
$u^*_{rel} = 149$

%Regularität

$g^*_{H,rel} = 46$

$g^*_{C,rel} = 65$

NCS11; adaptierte CIELAB-Daten					
	$L^*=L^*_a$	a^*_a	b^*_a	$C^*_{ab,a}$	$h^*_{ab,a}$
RMa	47.15	84.64	37.25	92.48	24
JMa	91.37	-1.27	125.03	125.03	91
GMa	63.07	-114.28	25.35	117.06	167
G50BMa	59.47	-80.6	-33.45	87.28	203
BMa	49.01	3.65	-81.19	81.28	273
B50RMa	44.06	106.09	-73.93	129.32	325
NMa	10.99	0.0	0.0	0.0	0
WMa	95.41	0.0	0.0	0.0	0
RCIE	39.92	58.69	27.98	65.01	25
JCIE	81.26	-2.9	71.56	71.62	92
GCIE	52.23	-42.45	13.59	44.59	162
BCIE	30.57	1.35	-46.48	46.51	272



Ausgabe: Farbmimetrisches Reflexions-System NCS11

für Buntton $h^* = lab^*h = 167/360 = 0.465$

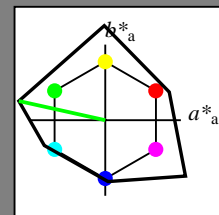
lab^*tch und lab^*nch

D65: Buntton G

LCH*Ma: 63 117 167

rgb*Ma: 0.0 1.0 0.0

Dreiecks-Helligkeit t^*



%Umfang

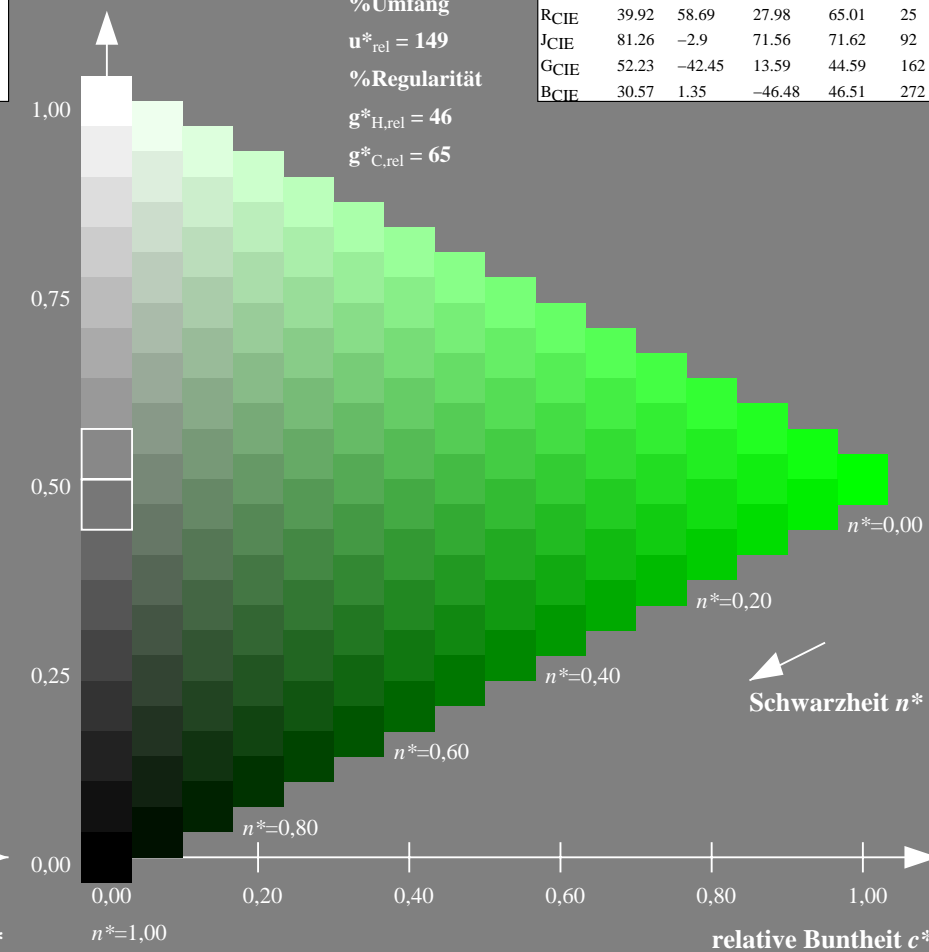
$u^*_{rel} = 149$

%Regularität

$g^*_{H,rel} = 46$

$g^*_{C,rel} = 65$

NCS11; adaptierte CIELAB-Daten					
	$L^*=L^*_a$	a^*_a	b^*_a	$C^*_{ab,a}$	$h^*_{ab,a}$
RMa	47.15	84.64	37.25	92.48	24
JMa	91.37	-1.27	125.03	125.03	91
GMa	63.07	-114.28	25.35	117.06	167
G50BMa	59.47	-80.6	-33.45	87.28	203
BMa	49.01	3.65	-81.19	81.28	273
B50RMa	44.06	106.09	-73.93	129.32	325
NMa	10.99	0.0	0.0	0.0	0
WMa	95.41	0.0	0.0	0.0	0
RCIE	39.92	58.69	27.98	65.01	25
JCIE	81.26	-2.9	71.56	71.62	92
GCIE	52.23	-42.45	13.59	44.59	162
BCIE	30.57	1.35	-46.48	46.51	272



TG990-7, 9stufige Reihen für konstanten CIELAB Buntton 167/360 = 0.465 (links)

16stufige Reihen für konstanten CIELAB Buntton 167/360 = 0.465 (rechts)

BAM-Prüfvorlage TG99; Farbmimetrik-Systeme NCS11a & NCS11b
D65: 9 und 16stufige Farbreihen für 10 Bunttöne

input: $olv^*setrgbcolor$
output: no change compared to input

Eingabe: Farbmimetrisches Reflexions-System NCS11

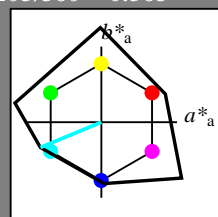
für Buntton $h^* = lab^*h = 203/360 = 0.563$

lab^*tch und lab^*nch

D65: Buntton G50B

LCH*Ma: 59 87 203

rgb*Ma: 0.0 1.0 1.0



NCS11; adaptierte CIELAB-Daten					
	$L^*=L^*_a$	a^*_a	b^*_a	$C^*_{ab,a}$	$h^*_{ab,a}$
RMa	47.15	84.64	37.25	92.48	24
JMa	91.37	-1.27	125.03	125.03	91
GMa	63.07	-114.28	25.35	117.06	167
G50BMa	59.47	-80.6	-33.45	87.28	203
BMa	49.01	3.65	-81.19	81.28	273
B50RMa	44.06	106.09	-73.93	129.32	325
NMa	10.99	0.0	0.0	0.0	0
WMa	95.41	0.0	0.0	0.0	0
RCIE	39.92	58.69	27.98	65.01	25
JCIE	81.26	-2.9	71.56	71.62	92
GCIE	52.23	-42.45	13.59	44.59	162
BCIE	30.57	1.35	-46.48	46.51	272

Dreiecks-Helligkeit t^*

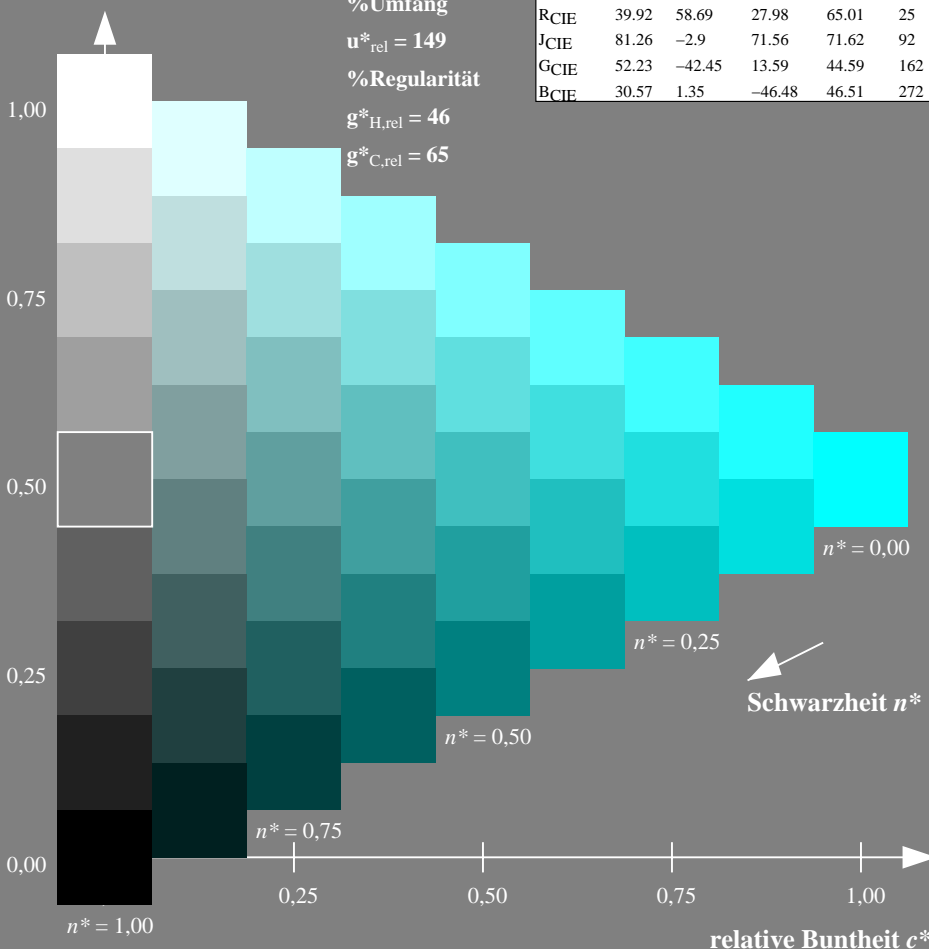
%Umfang

$u^*_{rel} = 149$

%Regularität

$g^*_{H,rel} = 46$

$g^*_{C,rel} = 65$



Ausgabe: Farbmimetrisches Reflexions-System NCS11

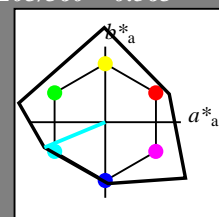
für Buntton $h^* = lab^*h = 203/360 = 0.563$

lab^*tch und lab^*nch

D65: Buntton G50B

LCH*Ma: 59 87 203

rgb*Ma: 0.0 1.0 1.0



NCS11; adaptierte CIELAB-Daten					
	$L^*=L^*_a$	a^*_a	b^*_a	$C^*_{ab,a}$	$h^*_{ab,a}$
RMa	47.15	84.64	37.25	92.48	24
JMa	91.37	-1.27	125.03	125.03	91
GMa	63.07	-114.28	25.35	117.06	167
G50BMa	59.47	-80.6	-33.45	87.28	203
BMa	49.01	3.65	-81.19	81.28	273
B50RMa	44.06	106.09	-73.93	129.32	325
NMa	10.99	0.0	0.0	0.0	0
WMa	95.41	0.0	0.0	0.0	0
RCIE	39.92	58.69	27.98	65.01	25
JCIE	81.26	-2.9	71.56	71.62	92
GCIE	52.23	-42.45	13.59	44.59	162
BCIE	30.57	1.35	-46.48	46.51	272

Dreiecks-Helligkeit t^*

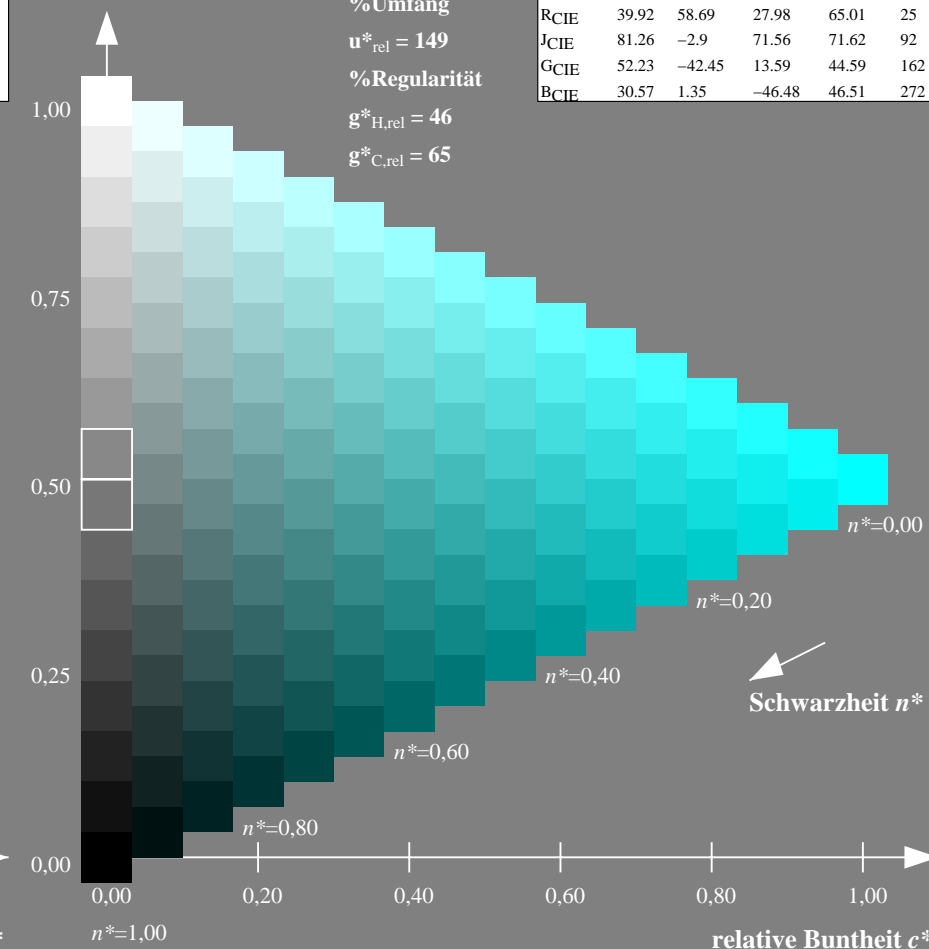
%Umfang

$u^*_{rel} = 149$

%Regularität

$g^*_{H,rel} = 46$

$g^*_{C,rel} = 65$



TG990-7, 9stufige Reihen für konstanten CIELAB Buntton 203/360 = 0.563 (links)

16stufige Reihen für konstanten CIELAB Buntton 203/360 = 0.563 (rechts)

BAM-Prüfvorlage TG99; Farbmimetrik-Systeme NCS11a & NCS11b
D65: 9 und 16stufige Farbreihen für 10 Bunttöne

input: $olv^* setrgbcolor$
output: no change compared to input

Eingabe: Farbmimetrisches Reflexions-System NCS11

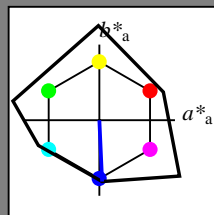
für Buntton $h^* = lab^*h = 273/360 = 0.757$

lab^*tch und lab^*nch

D65: Buntton B

LCH*Ma: 49 81 273

rgb*Ma: 0.0 0.0 1.0



NCS11; adaptierte CIELAB-Daten					
	$L^*=L^*_a$	a^*_a	b^*_a	$C^*_{ab,a}$	$h^*_{ab,a}$
RMa	47.15	84.64	37.25	92.48	24
JMa	91.37	-1.27	125.03	125.03	91
GMa	63.07	-114.28	25.35	117.06	167
G50BMa	59.47	-80.6	-33.45	87.28	203
BMa	49.01	3.65	-81.19	81.28	273
B50RMa	44.06	106.09	-73.93	129.32	325
NMa	10.99	0.0	0.0	0.0	0
WMa	95.41	0.0	0.0	0.0	0
RCIE	39.92	58.69	27.98	65.01	25
JCIE	81.26	-2.9	71.56	71.62	92
GCIE	52.23	-42.45	13.59	44.59	162
BCIE	30.57	1.35	-46.48	46.51	272

Dreiecks-Helligkeit t^*

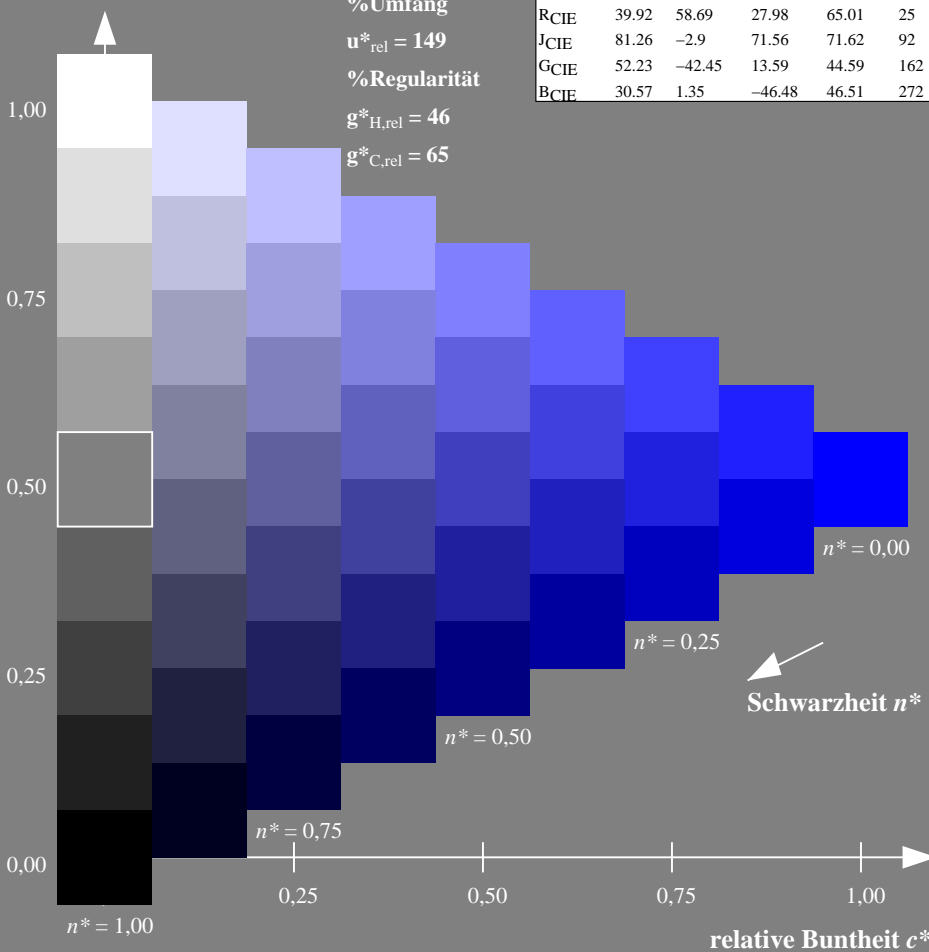
%Umfang

$u^*_{rel} = 149$

%Regularität

$g^*_{H,rel} = 46$

$g^*_{C,rel} = 65$



Ausgabe: Farbmimetrisches Reflexions-System NCS11

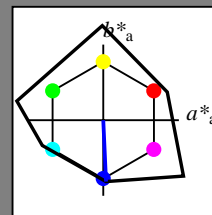
für Buntton $h^* = lab^*h = 273/360 = 0.757$

lab^*tch und lab^*nch

D65: Buntton B

LCH*Ma: 49 81 273

rgb*Ma: 0.0 0.0 1.0



NCS11; adaptierte CIELAB-Daten					
	$L^*=L^*_a$	a^*_a	b^*_a	$C^*_{ab,a}$	$h^*_{ab,a}$
RMa	47.15	84.64	37.25	92.48	24
JMa	91.37	-1.27	125.03	125.03	91
GMa	63.07	-114.28	25.35	117.06	167
G50BMa	59.47	-80.6	-33.45	87.28	203
BMa	49.01	3.65	-81.19	81.28	273
B50RMa	44.06	106.09	-73.93	129.32	325
NMa	10.99	0.0	0.0	0.0	0
WMa	95.41	0.0	0.0	0.0	0
RCIE	39.92	58.69	27.98	65.01	25
JCIE	81.26	-2.9	71.56	71.62	92
GCIE	52.23	-42.45	13.59	44.59	162
BCIE	30.57	1.35	-46.48	46.51	272

Dreiecks-Helligkeit t^*

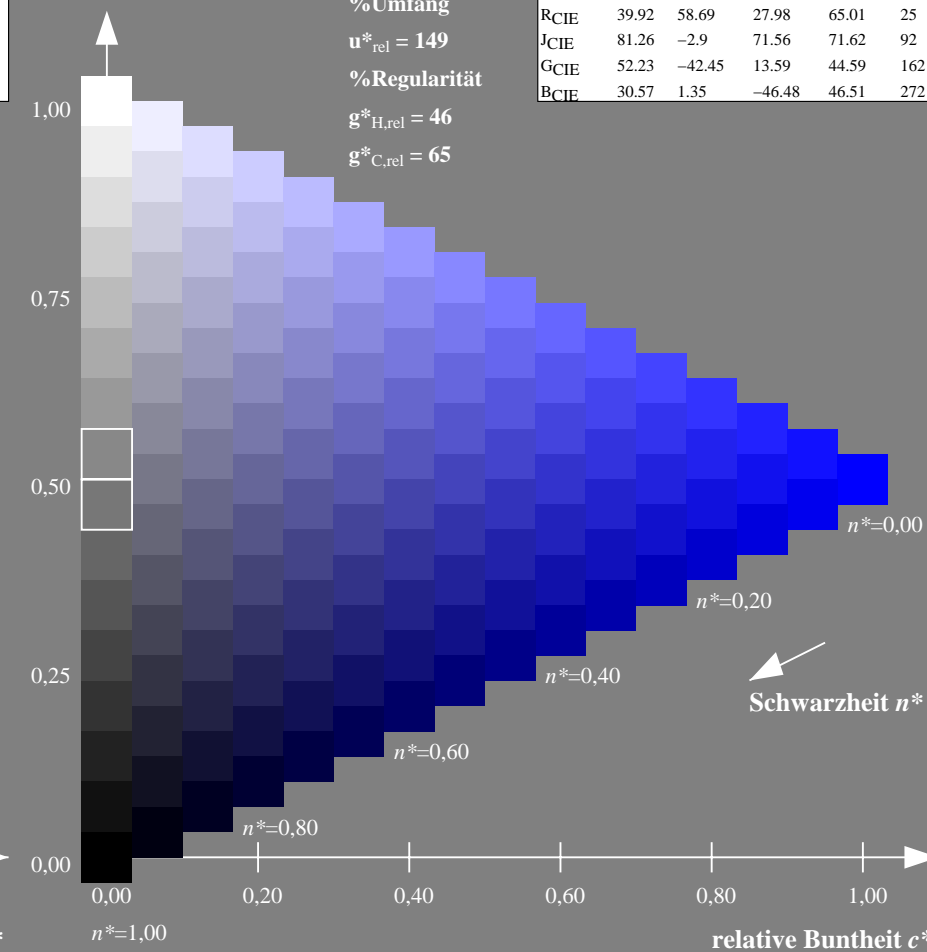
%Umfang

$u^*_{rel} = 149$

%Regularität

$g^*_{H,rel} = 46$

$g^*_{C,rel} = 65$



TG990-7, 9stufige Reihen für konstanten CIELAB Buntton 273/360 = 0.757 (links)

16stufige Reihen für konstanten CIELAB Buntton 273/360 = 0.757 (rechts)

BAM-Prüfvorlage TG99; Farbmimetrik-Systeme NCS11a & NCS11b

D65: 9 und 16stufige Farbreihen für 10 Bunttöne

input: $olv^*setrgbcolor$

output: no change compared to input

Eingabe: Farbmimetrisches Reflexions-System NCS11

für Buntton $h^* = lab^*h = 325/360 = 0.903$

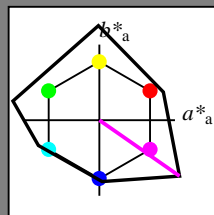
lab^*ch und lab^*nch

D65: Buntton B50R

LCH*Ma: 44 129 325

rgb*Ma: 1.0 0.0 1.0

Dreiecks-Helligkeit t^*



%Umfang

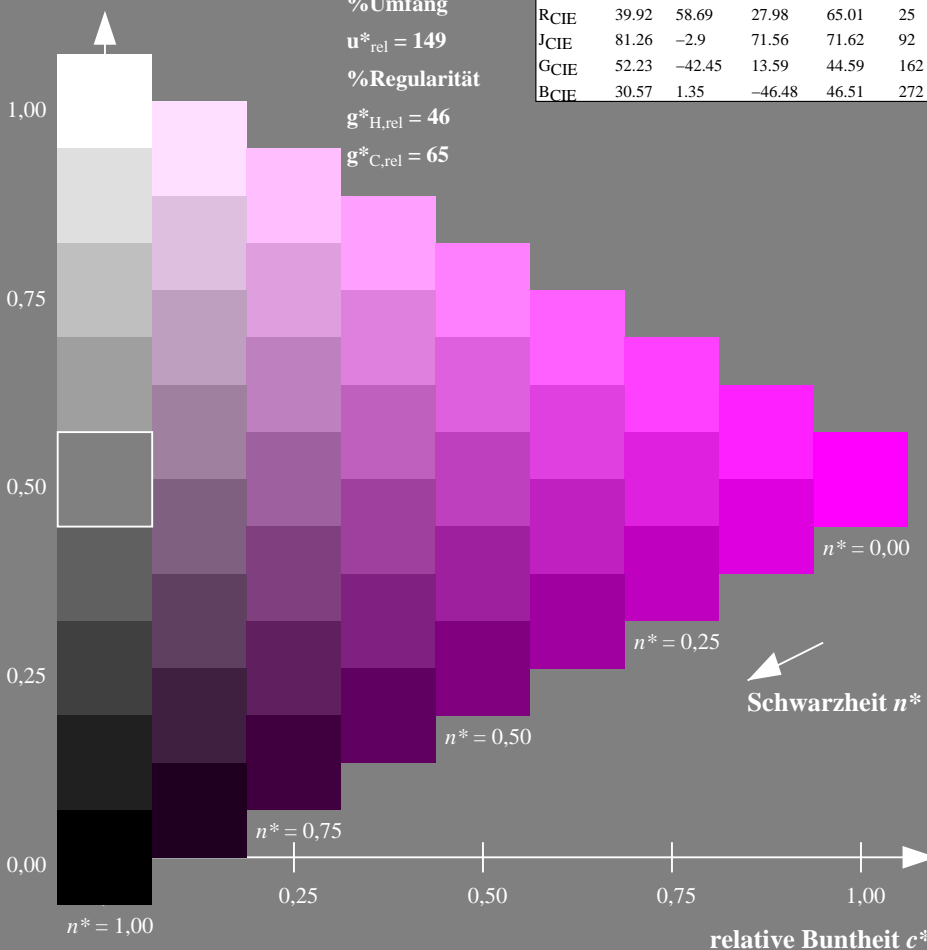
$u^*_{rel} = 149$

%Regularität

$g^*_{H,rel} = 46$

$g^*_{C,rel} = 65$

NCS11; adaptierte CIELAB-Daten					
	$L^*=L^*_a$	a^*_a	b^*_a	$C^*_{ab,a}$	$h^*_{ab,a}$
RMa	47.15	84.64	37.25	92.48	24
JMa	91.37	-1.27	125.03	125.03	91
GMa	63.07	-114.28	25.35	117.06	167
G50BMa	59.47	-80.6	-33.45	87.28	203
BMa	49.01	3.65	-81.19	81.28	273
B50RMa	44.06	106.09	-73.93	129.32	325
NMa	10.99	0.0	0.0	0.0	0
WMa	95.41	0.0	0.0	0.0	0
RCIE	39.92	58.69	27.98	65.01	25
JCIE	81.26	-2.9	71.56	71.62	92
GCIE	52.23	-42.45	13.59	44.59	162
BCIE	30.57	1.35	-46.48	46.51	272



Ausgabe: Farbmimetrisches Reflexions-System NCS11

für Buntton $h^* = lab^*h = 325/360 = 0.903$

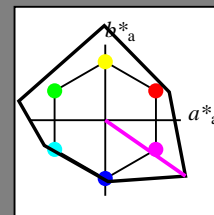
lab^*ch und lab^*nch

D65: Buntton B50R

LCH*Ma: 44 129 325

rgb*Ma: 1.0 0.0 1.0

Dreiecks-Helligkeit t^*



%Umfang

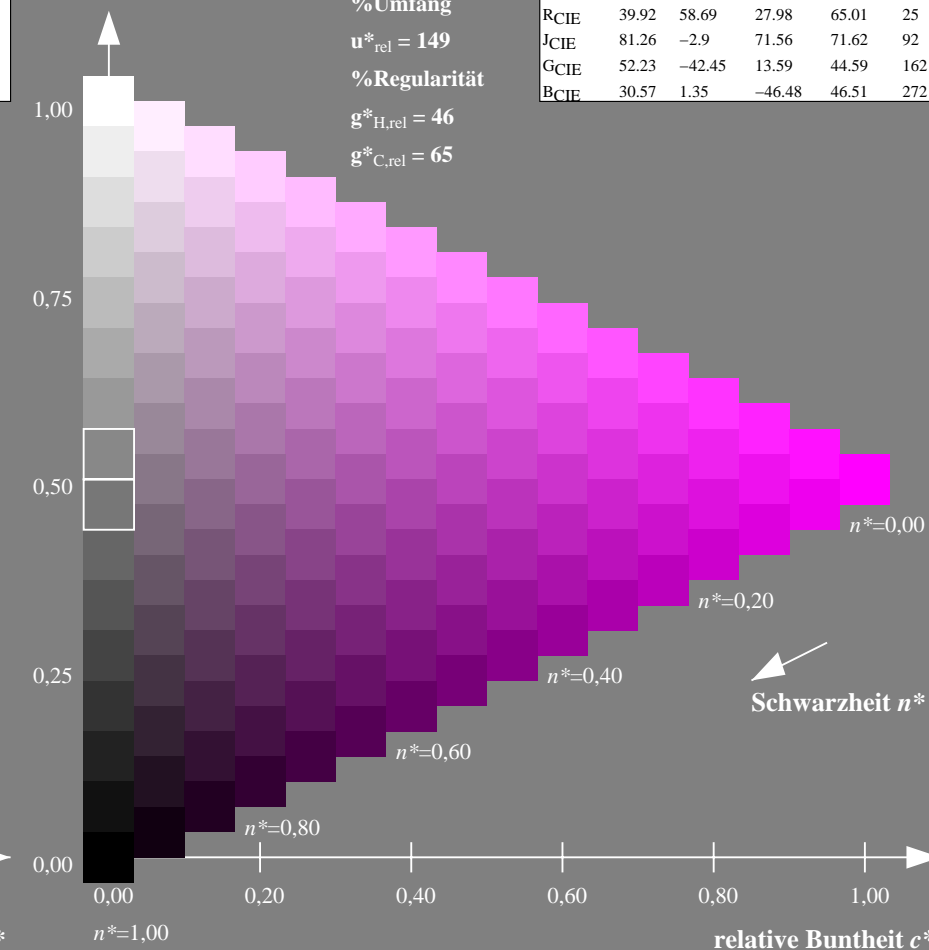
$u^*_{rel} = 149$

%Regularität

$g^*_{H,rel} = 46$

$g^*_{C,rel} = 65$

NCS11; adaptierte CIELAB-Daten					
	$L^*=L^*_a$	a^*_a	b^*_a	$C^*_{ab,a}$	$h^*_{ab,a}$
RMa	47.15	84.64	37.25	92.48	24
JMa	91.37	-1.27	125.03	125.03	91
GMa	63.07	-114.28	25.35	117.06	167
G50BMa	59.47	-80.6	-33.45	87.28	203
BMa	49.01	3.65	-81.19	81.28	273
B50RMa	44.06	106.09	-73.93	129.32	325
NMa	10.99	0.0	0.0	0.0	0
WMa	95.41	0.0	0.0	0.0	0
RCIE	39.92	58.69	27.98	65.01	25
JCIE	81.26	-2.9	71.56	71.62	92
GCIE	52.23	-42.45	13.59	44.59	162
BCIE	30.57	1.35	-46.48	46.51	272



TG990-7, 9stufige Reihen für konstanten CIELAB Buntton 325/360 = 0.903 (links)

16stufige Reihen für konstanten CIELAB Buntton 325/360 = 0.903 (rechts)

BAM-Prüfvorlage TG99; Farbmimetrik-Systeme NCS11a & NCS11b
D65: 9 und 16stufige Farbreihen für 10 Bunttöne

input: $olv^*setrgbcolor$
output: no change compared to input

Eingabe: Farbmimetrisches Reflexions-System NCS11

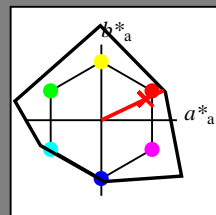
für Buntton $h^* = lab^*h = 25/360 = 0.071$

lab^*tch und lab^*nch

D65: Buntton R

LCH*Ma: 48 91 25

rgb*Ma: 1.0 0.02 0.0



NCS11; adaptierte CIELAB-Daten					
	$L^*=L^*_a$	a^*_a	b^*_a	$C^*_{ab,a}$	$h^*_{ab,a}$
RMa	47.15	84.64	37.25	92.48	24
JMa	91.37	-1.27	125.03	125.03	91
GMa	63.07	-114.28	25.35	117.06	167
G50BMa	59.47	-80.6	-33.45	87.28	203
BMa	49.01	3.65	-81.19	81.28	273
B50RMa	44.06	106.09	-73.93	129.32	325
NMa	10.99	0.0	0.0	0.0	0
WMa	95.41	0.0	0.0	0.0	0
RCIE	39.92	58.69	27.98	65.01	25
JCIE	81.26	-2.9	71.56	71.62	92
GCIE	52.23	-42.45	13.59	44.59	162
BCIE	30.57	1.35	-46.48	46.51	272

Dreiecks-Helligkeit t^*

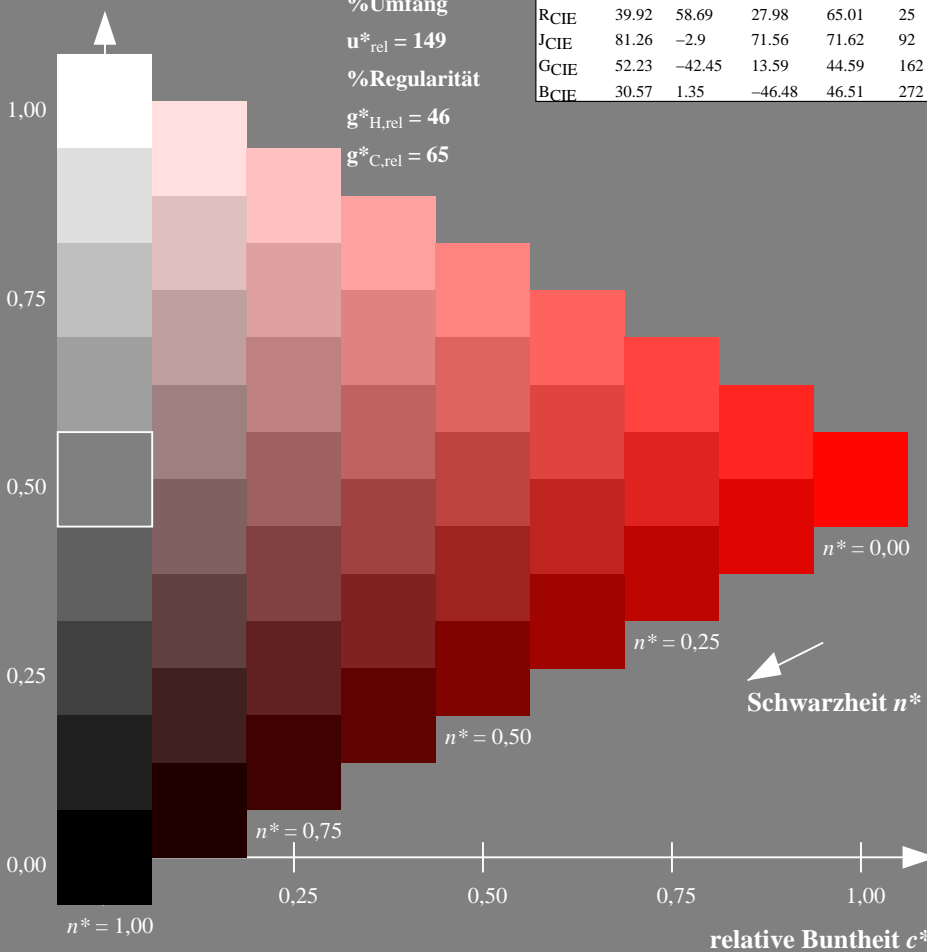
%Umfang

$u^*_{rel} = 149$

%Regularität

$g^*_{H,rel} = 46$

$g^*_{C,rel} = 65$



Ausgabe: Farbmimetrisches Reflexions-System NCS11

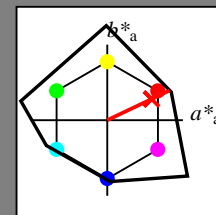
für Buntton $h^* = lab^*h = 25/360 = 0.071$

lab^*tch und lab^*nch

D65: Buntton R

LCH*Ma: 48 91 25

rgb*Ma: 1.0 0.02 0.0



NCS11; adaptierte CIELAB-Daten					
	$L^*=L^*_a$	a^*_a	b^*_a	$C^*_{ab,a}$	$h^*_{ab,a}$
RMa	47.15	84.64	37.25	92.48	24
JMa	91.37	-1.27	125.03	125.03	91
GMa	63.07	-114.28	25.35	117.06	167
G50BMa	59.47	-80.6	-33.45	87.28	203
BMa	49.01	3.65	-81.19	81.28	273
B50RMa	44.06	106.09	-73.93	129.32	325
NMa	10.99	0.0	0.0	0.0	0
WMa	95.41	0.0	0.0	0.0	0
RCIE	39.92	58.69	27.98	65.01	25
JCIE	81.26	-2.9	71.56	71.62	92
GCIE	52.23	-42.45	13.59	44.59	162
BCIE	30.57	1.35	-46.48	46.51	272

Dreiecks-Helligkeit t^*

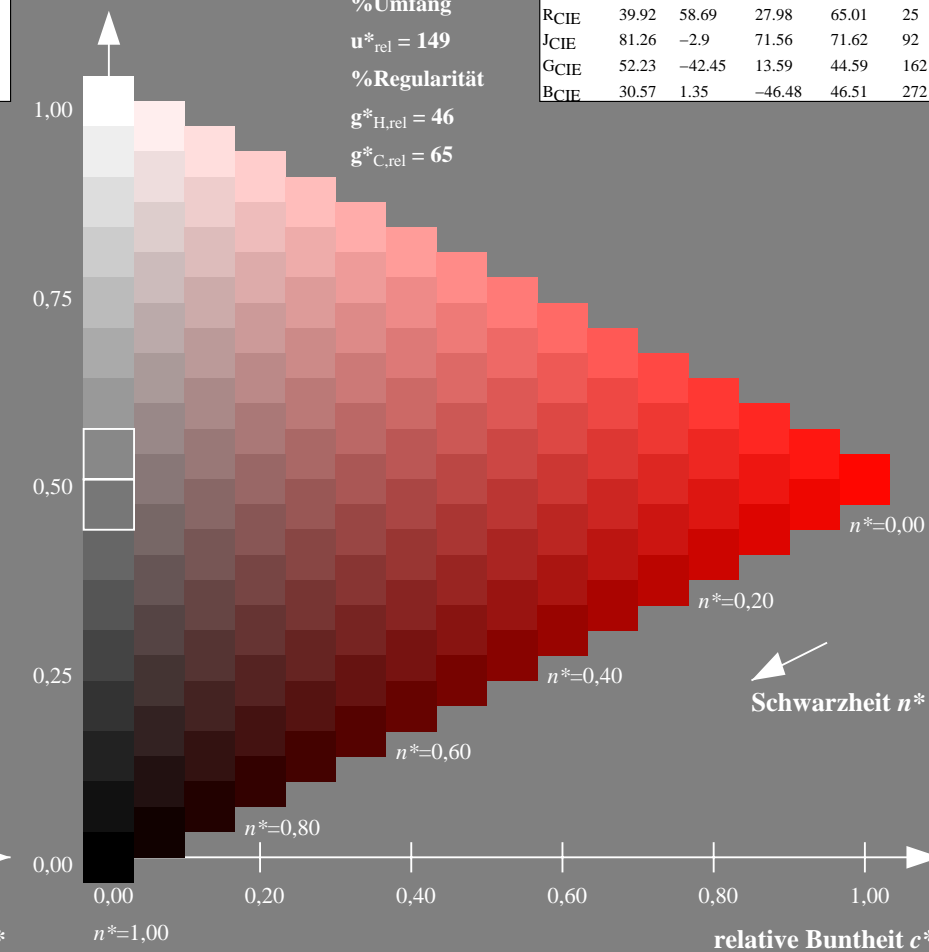
%Umfang

$u^*_{rel} = 149$

%Regularität

$g^*_{H,rel} = 46$

$g^*_{C,rel} = 65$



TG990-7, 9stufige Reihen für konstanten CIELAB Buntton 25/360 = 0.071 (links)

16stufige Reihen für konstanten CIELAB Buntton 25/360 = 0.071 (rechts)

BAM-Prüfvorlage TG99; Farbmimetrik-Systeme NCS11a & NCS11b

D65: 9 und 16stufige Farbreihen für 10 Bunttöne

input: $olv^* setrgbcolor$

output: no change compared to input

Eingabe: Farbmimetrisches Reflexions-System NCS11

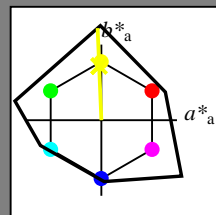
für Buntton $h^* = lab^*h = 92/360 = 0.256$

lab^*tch und lab^*nch

D65: Buntton J

LCH*Ma: 90 122 92

rgb*Ma: 0.97 1.0 0.0



NCS11; adaptierte CIELAB-Daten					
	$L^*=L^*_a$	a^*_a	b^*_a	$C^*_{ab,a}$	$h^*_{ab,a}$
RMa	47.15	84.64	37.25	92.48	24
JMa	91.37	-1.27	125.03	125.03	91
GMa	63.07	-114.28	25.35	117.06	167
G50BMa	59.47	-80.6	-33.45	87.28	203
BMa	49.01	3.65	-81.19	81.28	273
B50RMa	44.06	106.09	-73.93	129.32	325
NMa	10.99	0.0	0.0	0.0	0
WMa	95.41	0.0	0.0	0.0	0
RCIE	39.92	58.69	27.98	65.01	25
JCIE	81.26	-2.9	71.56	71.62	92
GCIE	52.23	-42.45	13.59	44.59	162
BCIE	30.57	1.35	-46.48	46.51	272

Dreiecks-Helligkeit t^*

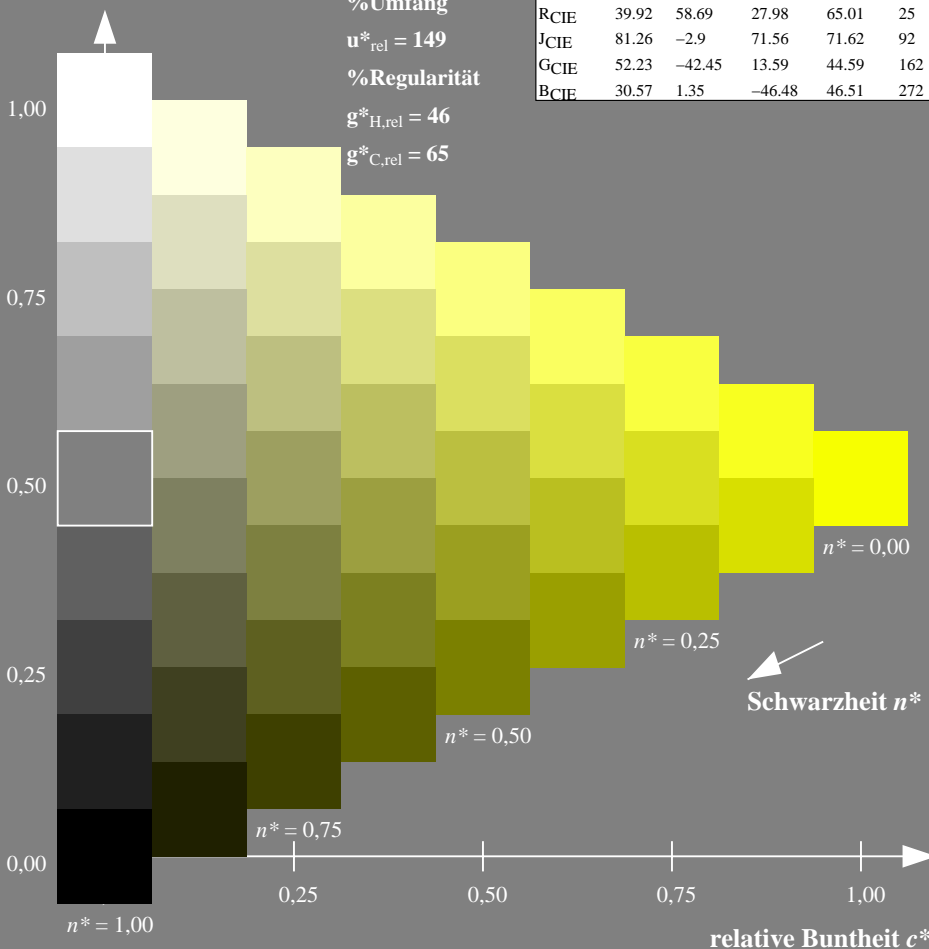
%Umfang

$u^*_{rel} = 149$

%Regularität

$g^*_{H,rel} = 46$

$g^*_{C,rel} = 65$



Ausgabe: Farbmimetrisches Reflexions-System NCS11

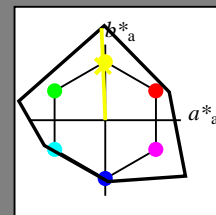
für Buntton $h^* = lab^*h = 92/360 = 0.256$

lab^*tch und lab^*nch

D65: Buntton J

LCH*Ma: 90 122 92

rgb*Ma: 0.97 1.0 0.0



NCS11; adaptierte CIELAB-Daten					
	$L^*=L^*_a$	a^*_a	b^*_a	$C^*_{ab,a}$	$h^*_{ab,a}$
RMa	47.15	84.64	37.25	92.48	24
JMa	91.37	-1.27	125.03	125.03	91
GMa	63.07	-114.28	25.35	117.06	167
G50BMa	59.47	-80.6	-33.45	87.28	203
BMa	49.01	3.65	-81.19	81.28	273
B50RMa	44.06	106.09	-73.93	129.32	325
NMa	10.99	0.0	0.0	0.0	0
WMa	95.41	0.0	0.0	0.0	0
RCIE	39.92	58.69	27.98	65.01	25
JCIE	81.26	-2.9	71.56	71.62	92
GCIE	52.23	-42.45	13.59	44.59	162
BCIE	30.57	1.35	-46.48	46.51	272

Dreiecks-Helligkeit t^*

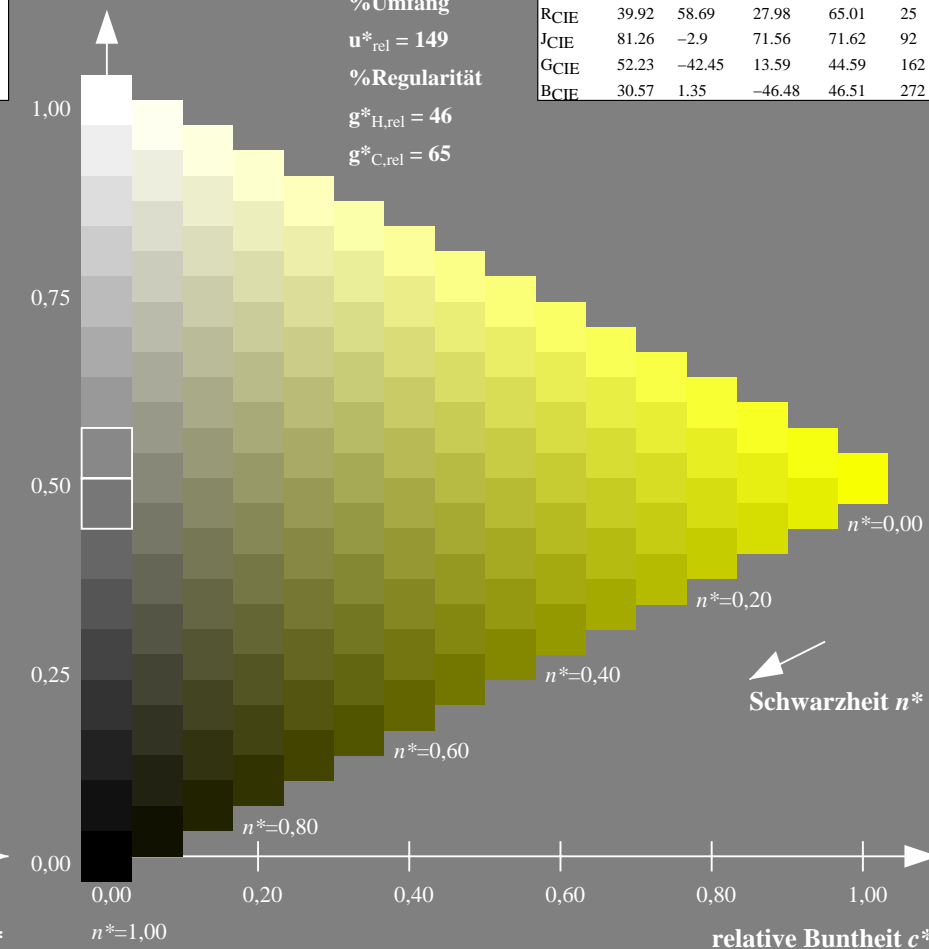
%Umfang

$u^*_{rel} = 149$

%Regularität

$g^*_{H,rel} = 46$

$g^*_{C,rel} = 65$



TG990-7, 9stufige Reihen für konstanten CIELAB Buntton $92/360 = 0.256$ (links)

16stufige Reihen für konstanten CIELAB Buntton $92/360 = 0.256$ (rechts)

BAM-Prüfvorlage TG99; Farbmimetrik-Systeme NCS11a & NCS11b

D65: 9 und 16stufige Farbreihen für 10 Bunttöne

input: $olv^* setrgbcolor$

output: no change compared to input

Eingabe: Farbmimetrisches Reflexions-System NCS11

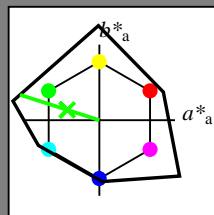
für Buntton $h^* = lab^*h = 162/360 = 0.451$

lab^*ch und lab^*nch

D65: Buntton G

LCH*Ma: 65 110 162

rgb*Ma: 0.08 1.0 0.0



NCS11; adaptierte CIELAB-Daten					
	$L^*=L^*_a$	a^*_a	b^*_a	$C^*_{ab,a}$	$h^*_{ab,a}$
RMa	47.15	84.64	37.25	92.48	24
JMa	91.37	-1.27	125.03	125.03	91
GMa	63.07	-114.28	25.35	117.06	167
G50BMa	59.47	-80.6	-33.45	87.28	203
BMa	49.01	3.65	-81.19	81.28	273
B50RMa	44.06	106.09	-73.93	129.32	325
NMa	10.99	0.0	0.0	0.0	0
WMa	95.41	0.0	0.0	0.0	0
RCIE	39.92	58.69	27.98	65.01	25
JCIE	81.26	-2.9	71.56	71.62	92
GCIE	52.23	-42.45	13.59	44.59	162
BCIE	30.57	1.35	-46.48	46.51	272

Dreiecks-Helligkeit t^*

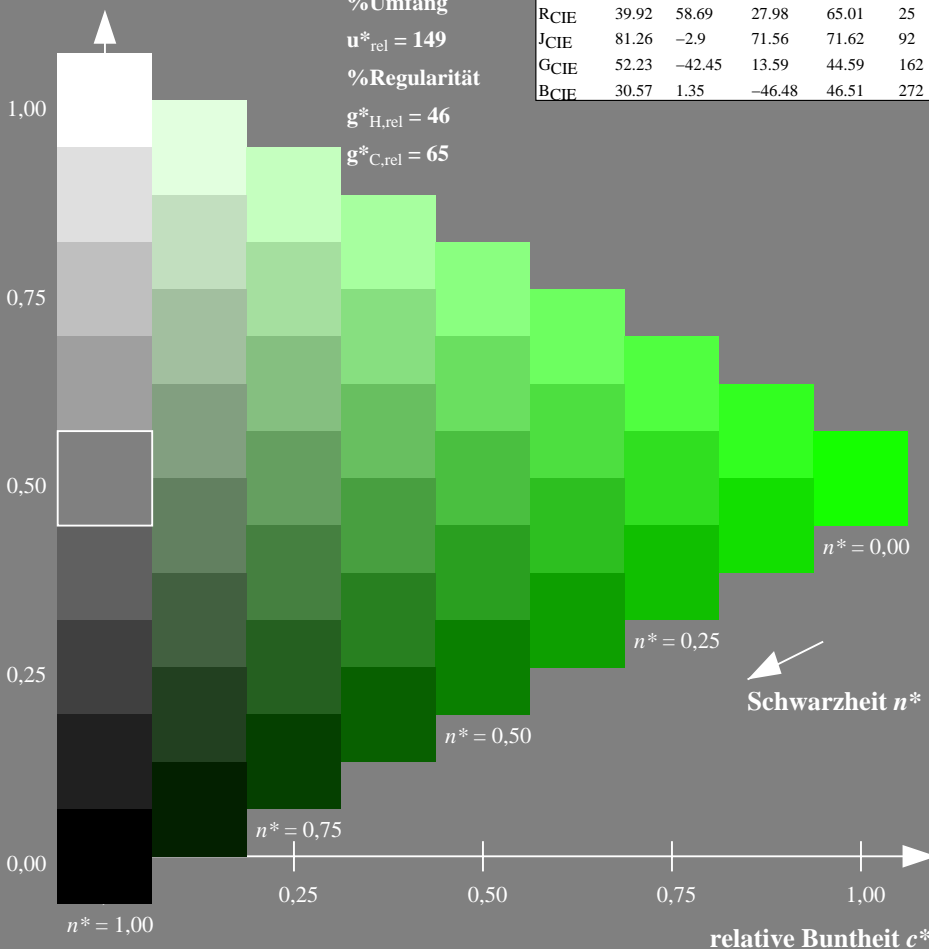
%Umfang

$u^*_{rel} = 149$

%Regularität

$g^*_{H,rel} = 46$

$g^*_{C,rel} = 65$



Ausgabe: Farbmimetrisches Reflexions-System NCS11

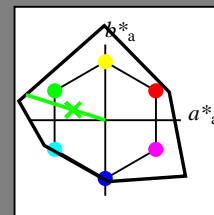
für Buntton $h^* = lab^*h = 162/360 = 0.451$

lab^*ch und lab^*nch

D65: Buntton G

LCH*Ma: 65 110 162

rgb*Ma: 0.08 1.0 0.0



NCS11; adaptierte CIELAB-Daten					
	$L^*=L^*_a$	a^*_a	b^*_a	$C^*_{ab,a}$	$h^*_{ab,a}$
RMa	47.15	84.64	37.25	92.48	24
JMa	91.37	-1.27	125.03	125.03	91
GMa	63.07	-114.28	25.35	117.06	167
G50BMa	59.47	-80.6	-33.45	87.28	203
BMa	49.01	3.65	-81.19	81.28	273
B50RMa	44.06	106.09	-73.93	129.32	325
NMa	10.99	0.0	0.0	0.0	0
WMa	95.41	0.0	0.0	0.0	0
RCIE	39.92	58.69	27.98	65.01	25
JCIE	81.26	-2.9	71.56	71.62	92
GCIE	52.23	-42.45	13.59	44.59	162
BCIE	30.57	1.35	-46.48	46.51	272

Dreiecks-Helligkeit t^*

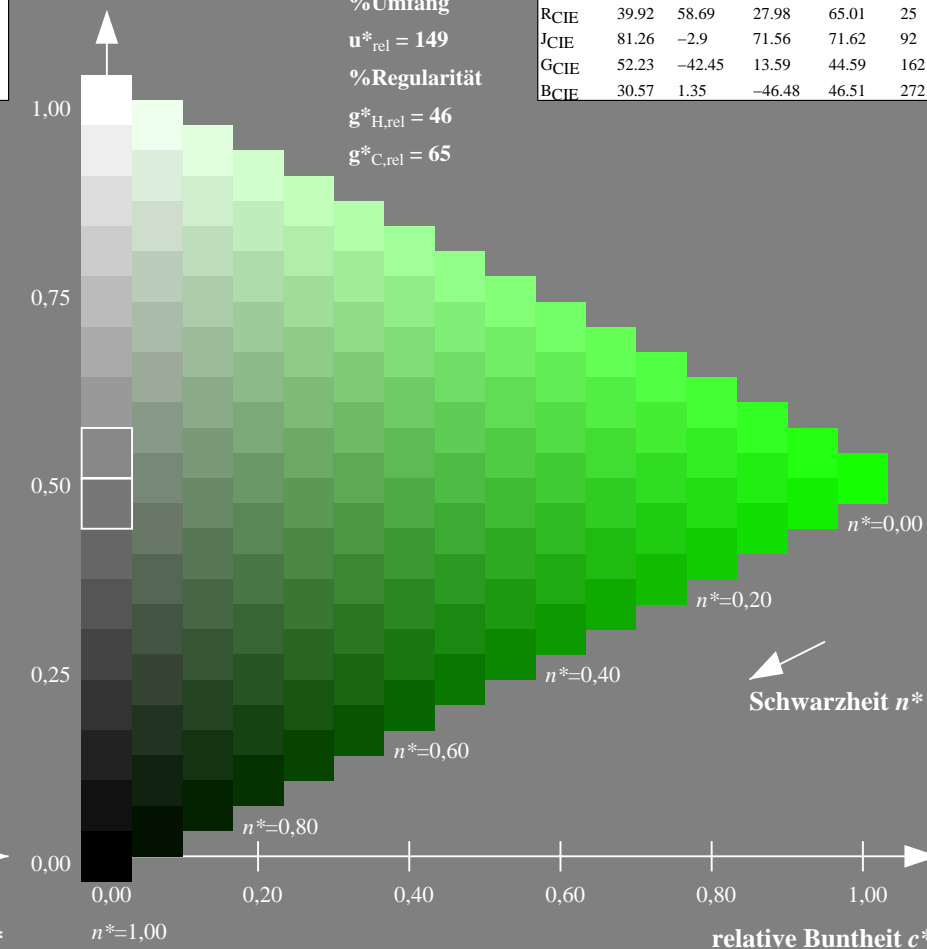
%Umfang

$u^*_{rel} = 149$

%Regularität

$g^*_{H,rel} = 46$

$g^*_{C,rel} = 65$



TG990-7, 9stufige Reihen für konstanten CIELAB Buntton 162/360 = 0.451 (links)

16stufige Reihen für konstanten CIELAB Buntton 162/360 = 0.451 (rechts)

BAM-Prüfvorlage TG99; Farbmimetrik-Systeme NCS11a & NCS11b

D65: 9 und 16stufige Farbreihen für 10 Bunttöne

input: $olv^* setrgbcolor$

output: no change compared to input

Eingabe: Farbmimetrisches Reflexions-System NCS11

für Buntton $h^* = lab^*h = 272/360 = 0.755$

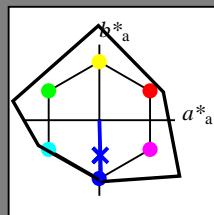
lab^*tch und lab^*nch

D65: Buntton B

LCH*Ma: 49 80 272

rgb*Ma: 0.0 0.02 1.0

Dreiecks-Helligkeit t^*



%Umfang

$u^*_{rel} = 149$

%Regularität

$g^*_{H,rel} = 46$

$g^*_{C,rel} = 65$

NCS11; adaptierte CIELAB-Daten					
	$L^*=L^*_a$	a^*_a	b^*_a	$C^*_{ab,a}$	$h^*_{ab,a}$
RMa	47.15	84.64	37.25	92.48	24
JMa	91.37	-1.27	125.03	125.03	91
GMa	63.07	-114.28	25.35	117.06	167
G50BMa	59.47	-80.6	-33.45	87.28	203
BMa	49.01	3.65	-81.19	81.28	273
B50RMa	44.06	106.09	-73.93	129.32	325
NMa	10.99	0.0	0.0	0.0	0
WMa	95.41	0.0	0.0	0.0	0
RCIE	39.92	58.69	27.98	65.01	25
JCIE	81.26	-2.9	71.56	71.62	92
GCIE	52.23	-42.45	13.59	44.59	162
BCIE	30.57	1.35	-46.48	46.51	272

Ausgabe: Farbmimetrisches Reflexions-System NCS11

für Buntton $h^* = lab^*h = 272/360 = 0.755$

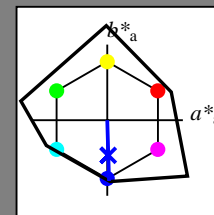
lab^*tch und lab^*nch

D65: Buntton B

LCH*Ma: 49 80 272

rgb*Ma: 0.0 0.02 1.0

Dreiecks-Helligkeit t^*



%Umfang

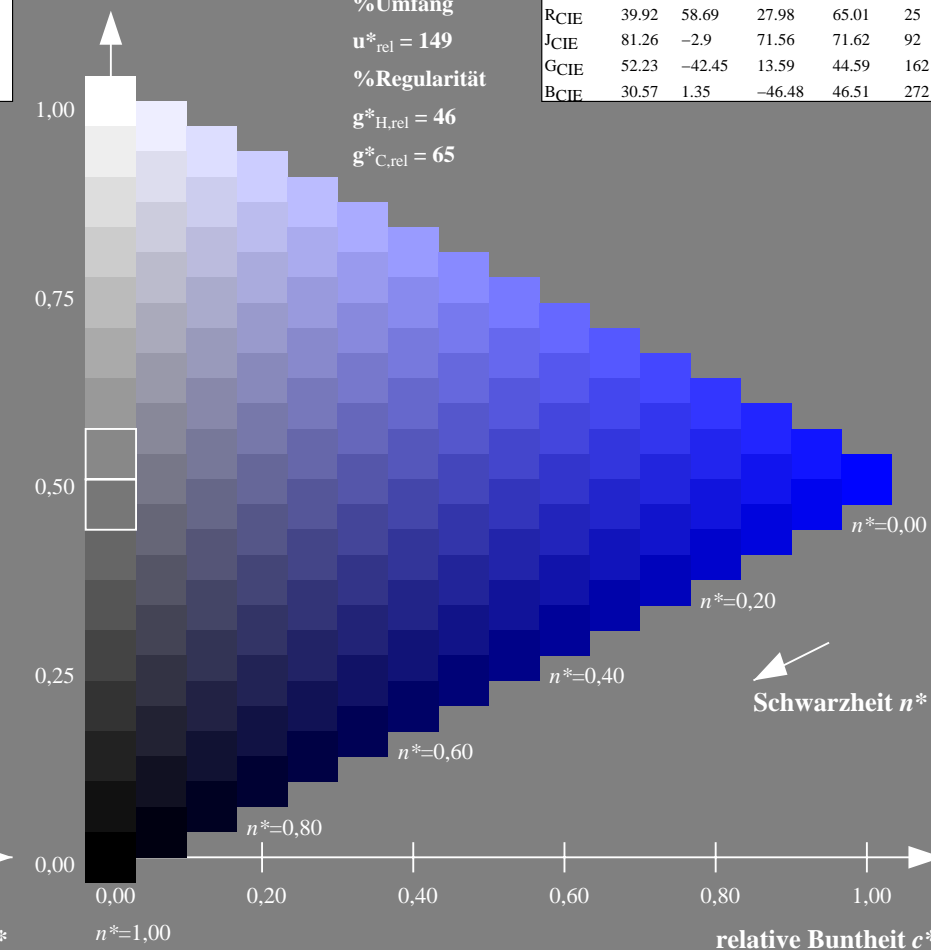
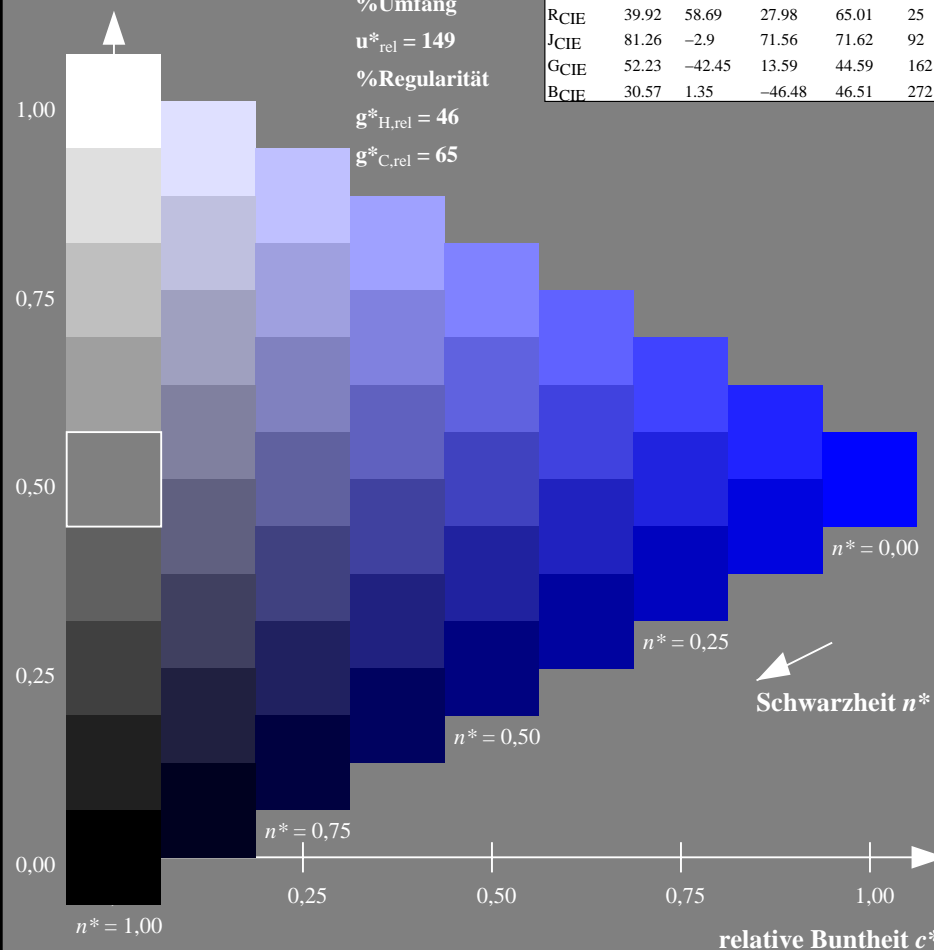
$u^*_{rel} = 149$

%Regularität

$g^*_{H,rel} = 46$

$g^*_{C,rel} = 65$

NCS11; adaptierte CIELAB-Daten					
	$L^*=L^*_a$	a^*_a	b^*_a	$C^*_{ab,a}$	$h^*_{ab,a}$
RMa	47.15	84.64	37.25	92.48	24
JMa	91.37	-1.27	125.03	125.03	91
GMa	63.07	-114.28	25.35	117.06	167
G50BMa	59.47	-80.6	-33.45	87.28	203
BMa	49.01	3.65	-81.19	81.28	273
B50RMa	44.06	106.09	-73.93	129.32	325
NMa	10.99	0.0	0.0	0.0	0
WMa	95.41	0.0	0.0	0.0	0
RCIE	39.92	58.69	27.98	65.01	25
JCIE	81.26	-2.9	71.56	71.62	92
GCIE	52.23	-42.45	13.59	44.59	162
BCIE	30.57	1.35	-46.48	46.51	272



TG990-7, 9stufige Reihen für konstanten CIELAB Buntton 272/360 = 0.755 (links)

16stufige Reihen für konstanten CIELAB Buntton 272/360 = 0.755 (rechts)

BAM-Prüfvorlage TG99; Farbmimetrik-Systeme NCS11a & NCS11b
D65: 9 und 16stufige Farbreihen für 10 Bunttöne

input: $olv^* setrgbcolor$
output: no change compared to input